

# 光子の波動関数は存在しないのか — 実験的立場から

北野 正雄

京都大学工学研究科

2017 年 1 月 8-9 日

第 6 回 QUATUO 研究会@高知工科大学

# 光子の波動関数

- 光子の波動関数（空間表示の確率振幅  $\psi(\mathbf{r})$ ）は存在しないといわれている。
- しかし、光子を用いた量子現象の研究において、光子の波動関数（空間的な確率）は無造作、無批判、無意識に利用されている。
- 2つの極論
  - ▶ 原理派「光子の波動関数は存在しない。場の理論を使うべし。」
  - ▶ 現実派「古典的電場に相当するものを波動関数と見なせばよい。」

# 光子の位置問題

- 光子については、位置の演算子が定義できない — 初等量子論が展開できない.
- うまく行かない原因
  - ▶ 質量がゼロ
  - ▶ スピンの存在

谷村: “光子の局在化問題”, 第 2 回 QUATUO 研究会 (2013)

# Riemann-Silberstein ベクトル

- Maxwell 方程式

$$\frac{\partial}{\partial t} \mathbf{D} = \nabla \times \mathbf{H}, \quad \frac{\partial}{\partial t} \mathbf{B} = -\nabla \times \mathbf{E} \quad \nabla \cdot \mathbf{D} = 0, \quad \nabla \cdot \mathbf{B} = 0$$

- 複素ベクトル場  $\mathbf{F}$

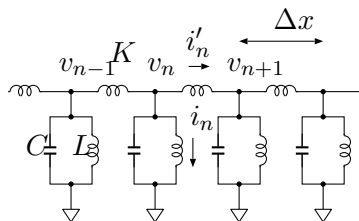
$$\begin{aligned} \mathbf{F} &:= \frac{1}{\sqrt{2}} (\sqrt{\varepsilon_0} \mathbf{E} + i\sqrt{\mu_0} \mathbf{H}) \\ &= \frac{1}{\sqrt{2}} \left( \frac{\mathbf{D}}{\sqrt{\varepsilon_0}} + i \frac{\mathbf{B}}{\sqrt{\mu_0}} \right) \quad \stackrel{\text{SI}}{\sim} \sqrt{\text{J/m}^3} \end{aligned}$$

- 簡単化;

$$i \frac{\partial}{\partial t} \mathbf{F}(\mathbf{r}, t) = c_0 \nabla \times \mathbf{F}(\mathbf{r}, t), \quad \nabla \cdot \mathbf{F} = 0$$

I. Bialynicki-Birula: Progress in Optics XXXVI, p. 245 (1996)

## (参考) シュレディンガー回路



- 複素変数

$$u_n = \sqrt{\frac{C}{2U}} v_n + i \sqrt{\frac{L}{2U}} i'_n = \sqrt{\frac{1}{2CU}} q_n + i \sqrt{\frac{1}{2LU}} \phi_n$$

全エネルギー:  $U := (1/2) \sum_n (Cv_n^2 + Li_n^2)$

- 離散 Schrödinger 方程式

$$\frac{d}{dt} u_n = -i\omega u_n + \frac{i\omega}{2} \frac{L}{K} (u_{n-1} - 2u_n + u_{n+1})$$

## Schrödinger-like 方程式

- $i\frac{\partial}{\partial t}\mathbf{F}(\mathbf{r}, t) = c_0\nabla \times \mathbf{F}(\mathbf{r}, t)$  を成分で書くと,

$$i\hbar\frac{\partial}{\partial t}F_k = c_0\epsilon_{ijk}\partial_i F_j = ic_0(s_i)_{jk}\partial_i F_j = -ic_0(\mathbf{s} \cdot \nabla)_{kj}F_j$$

- 3つの  $3 \times 3$  行列  $(s_i)_{jk} := -i\epsilon_{ijk}$

$$[s_i, s_j] = i\epsilon_{ijk}s_k$$

- 両辺に  $\hbar$  をかけて

$$i\hbar\frac{\partial}{\partial t}\mathbf{F}(\mathbf{r}, t) = c_0 \left[ \mathbf{s} \cdot \left( \frac{\hbar}{i}\nabla \right) \right] \mathbf{F}(\mathbf{r}, t)$$

(cf) Wyle equation for neutrinos:  $i\hbar\frac{\partial}{\partial t}\phi(\mathbf{r}, t) = c_0 \left[ \boldsymbol{\sigma} \cdot \left( \frac{\hbar}{i}\nabla \right) \right] \phi(\mathbf{r}, t)$

# 電磁場のエネルギー, 運動量

- エネルギー

$$E = \int dr^3 \frac{1}{2} (\mathbf{E} \cdot \mathbf{D} + \mathbf{B} \cdot \mathbf{H}) = \int dr^3 \mathbf{F}^* \cdot \mathbf{F}$$

- 運動量

$$\mathbf{P} = \int dr^3 (\mathbf{D} \times \mathbf{B}) = \frac{1}{2ic_0} \int dr^3 \mathbf{F}^* \times \mathbf{F}$$

## 空間的モード展開

- 波数  $\mathbf{k}$  のモード振幅  $F_{\mathbf{k}}(t) \stackrel{\text{SI}}{\sim} \sqrt{\text{J m}^3}$ .

$$F(\mathbf{r}, t) = \int \frac{d^3k}{(2\pi)^3} F_{\mathbf{k}}(t) e^{i\mathbf{k}\cdot\mathbf{r}}$$

- 波数空間での Schrödinger-like 方程式

$$\frac{d}{dt} F_{\mathbf{k}}(t) = c_0 \mathbf{k} \times F_{\mathbf{k}}(t), \quad \mathbf{k} \cdot F_{\mathbf{k}}(t) = 0$$

- $\mathbf{k}$  毎の正規直交基底:  $\mathbf{e}_{\mathbf{k}3} := \mathbf{k}/|\mathbf{k}|$  (縦),  $\mathbf{e}_{\mathbf{k}1}, \mathbf{e}_{\mathbf{k}2}$  (横).

$$\mathbf{e}_{\mathbf{k}\pm} := (\mathbf{e}_{\mathbf{k}1} \pm i\mathbf{e}_{\mathbf{k}2})/\sqrt{2}$$

- 横波条件から

$$F_{\mathbf{k}}(t) = F_{\mathbf{k}+}(t)\mathbf{e}_{\mathbf{k}+} + F_{\mathbf{k}-}(t)\mathbf{e}_{\mathbf{k}-}$$

- 方程式に代入

$$\frac{d}{dt} F_{\mathbf{k}\pm}(t) = \pm c_0 |\mathbf{k}| F_{\mathbf{k}\pm}(t) \quad \text{時間的単振動}$$

## 空間的モード展開 (2)

- 単振動解  $F_{\mathbf{k}\pm}(t) = f_{\pm}(\mathbf{k})e^{\mp i\omega_{\mathbf{k}}t}$ ,  $\omega_{\mathbf{k}} := c_0|\mathbf{k}|$  より

$$\begin{aligned} \mathbf{F}(\mathbf{r}, t) &= \int \frac{d\mathbf{k}^3}{(2\pi)^3} (f_+(\mathbf{k})\mathbf{e}_{\mathbf{k}+}e^{-i\omega_{\mathbf{k}}t} + f_-(\mathbf{k})\mathbf{e}_{\mathbf{k}-}e^{i\omega_{\mathbf{k}}t}) e^{i\mathbf{k}\cdot\mathbf{r}} \\ &= \int \frac{d\mathbf{k}^3}{(2\pi)^3} (f_+(\mathbf{k})\mathbf{e}_{\mathbf{k}+}e^{-i\omega_{\mathbf{k}}t+i\mathbf{k}\cdot\mathbf{r}} + f_-(-\mathbf{k})\mathbf{e}_{(-\mathbf{k})-}e^{i\omega_{\mathbf{k}}t+i(-\mathbf{k})\cdot\mathbf{r}}) \\ &= \int \frac{d\mathbf{k}^3}{(2\pi)^3} \mathbf{e}_{\mathbf{k}+} (f_+(\mathbf{k})e^{-i\omega_{\mathbf{k}}t+i\mathbf{k}\cdot\mathbf{r}} + f_-^*(\mathbf{k})e^{i\omega_{\mathbf{k}}t-i\mathbf{k}\cdot\mathbf{r}}) \\ &=: \mathbf{F}^{(+)}(\mathbf{r}, t) + \mathbf{F}^{(-)}(\mathbf{r}, t) \end{aligned}$$

- 複素共役

$$\begin{aligned} \mathbf{F}^*(\mathbf{r}, t) &= \int \frac{d\mathbf{k}^3}{(2\pi)^3} \mathbf{e}_{\mathbf{k}-} (f_-(\mathbf{k})e^{-i\omega_{\mathbf{k}}t+i\mathbf{k}\cdot\mathbf{r}} + f_+^*(\mathbf{k})e^{i\omega_{\mathbf{k}}t-i\mathbf{k}\cdot\mathbf{r}}) \\ &= \mathbf{F}^{(-)*}(\mathbf{r}, t) + \mathbf{F}^{(+)*}(\mathbf{r}, t) \end{aligned}$$

# エネルギー

- エネルギーの波数表現

$$E = \int dr^3 \mathbf{F}^* \cdot \mathbf{F} = \int \frac{dk^3}{(2\pi)^3} \sum_{\lambda} f_{\lambda}^*(\mathbf{k}) f_{\lambda}(\mathbf{k})$$

- エネルギーを「波数空間における確率振幅」 $\phi_{\lambda}(\mathbf{k})$ を用いて

$$E = \langle \phi | \hbar\omega | \phi \rangle = \int \frac{dk^3}{(2\pi)^3} \sum_{\lambda} \hbar\omega_{\mathbf{k}} \phi_{\lambda}^*(\mathbf{k}) \phi_{\lambda}(\mathbf{k})$$

- 両式を比較

$$\phi_{\lambda}(\mathbf{k}) := \frac{1}{\sqrt{\hbar\omega_{\mathbf{k}}}} f_{\lambda}(\mathbf{k}) = \frac{1}{\sqrt{\hbar c_0}} |\mathbf{k}|^{-1/2} f_{\lambda}(\mathbf{k}) \quad \overset{\text{SI}}{\sim} \text{m}^{3/2}$$

- 規格化条件

$$\int \frac{dk^3}{(2\pi)^3} \sum_{\lambda} \phi_{\lambda}^*(\mathbf{k}) \phi_{\lambda}(\mathbf{k}) = 1$$

## $|\mathbf{k}|$ 依存性

- 「確率振幅」  $\phi_\lambda(\mathbf{k})$  は電磁場の振幅  $f_\lambda(\mathbf{k})$  とは異なることに注意する;

$$\phi_\lambda(\mathbf{k}) := \frac{1}{\sqrt{\hbar c_0}} |\mathbf{k}|^{-1/2} f_\lambda(\mathbf{k})$$

- もし質量があれば,

$$|\mathbf{k}| \rightarrow \sqrt{|\mathbf{k}|^2 + \left(\frac{mc_0}{\hbar}\right)^2} \sim \frac{mc_0}{\hbar} \quad \text{低エネルギーでは一定}$$

## $k$ 表示の波動関数

- 光子の状態を表すケット  $|\phi\rangle$  は,  $k$  空間の波動関数を用いて

$$|\phi\rangle = \int d^3k [\phi_+(\mathbf{k})|\mathbf{k}, +\rangle + \phi_-(\mathbf{k})|\mathbf{k}, -\rangle]$$

ただし,  $|\mathbf{k}, \lambda\rangle$  ( $\lambda = +, -$ ) は基底ケット.

- 運動量

$$\begin{aligned} \mathbf{P} &= \langle \phi | \hbar \mathbf{k} | \phi \rangle \\ &= \int \frac{d\mathbf{k}^3}{(2\pi)^3} \hbar \mathbf{k} \sum_{\lambda} \phi_{\lambda}^*(\mathbf{k}) \phi_{\lambda}(\mathbf{k}) \end{aligned}$$

## $r$ 表示が可能な場合

波数  $\mathbf{k}$  の方向がほぼ揃っている場合

- $\phi_\lambda(\mathbf{k})$  が特定の波数 ( $\mathbf{k}_0$  とおく) の方向に対してのみゼロでない値を持つ:

$$|e_{\mathbf{k}3} - e_{\mathbf{k}_03}| \ll 1$$

- 近似的に共通の偏光基底を用いることができる.

$$|\mathbf{k}, \lambda\rangle = |\mathbf{k}\rangle|\lambda\rangle$$

- 状態が偏光と空間部分に分離

$$|\phi\rangle = \sum_{\lambda} |\lambda\rangle \int d^3k \phi_\lambda(\mathbf{k}) |\mathbf{k}\rangle$$

- 位置表示が可能となる — 空間的波動関数

$$\begin{aligned} \Phi_\lambda(\mathbf{r}) &:= \langle \mathbf{r} | \langle \lambda | \phi \rangle = \int d^3k \phi_\lambda(\mathbf{k}) \langle \mathbf{r} | \mathbf{k} \rangle \\ &= \int d^3k \phi_\lambda(\mathbf{k}) e^{i\mathbf{k}\cdot\mathbf{r}} = (\mathcal{F}\phi_\lambda)(\mathbf{r}) \end{aligned}$$

Fourier 変換

## 波動関数 $\Phi_\lambda(\mathbf{r})$ と場の振幅 $F_\lambda(\mathbf{r})$ の関係

- $\phi_\lambda(\mathbf{k}) = \frac{1}{\sqrt{\hbar c_0}} |\mathbf{k}|^{-1/2} f_\lambda(\mathbf{k})$  を逆 Fourier 変換すると,

$$\begin{aligned}\Phi_\lambda(\mathbf{r}) &= (\mathcal{F}^{-1} \phi_\lambda)(\mathbf{r}) \\ &= \frac{1}{\sqrt{\hbar c_0}} |\mathbf{r}|^{-5/2} * F_\lambda(\mathbf{r}) \\ &= \frac{1}{\sqrt{\hbar c_0}} \int d\mathbf{r}'^3 \frac{1}{|\mathbf{r} - \mathbf{r}'|^{5/2}} F_\lambda(\mathbf{r}') \quad \text{Landau-Pierls 波動関数}\end{aligned}$$

- 逆の関係  $f_\lambda(\mathbf{k}) = \sqrt{\hbar c_0} |\mathbf{k}|^{1/2} \phi_\lambda(\mathbf{k})$  を逆 Fourier 変換

$$\begin{aligned}F_\lambda(\mathbf{r}) &= \sqrt{\hbar c_0} |\mathbf{r}|^{-7/2} * \Phi(\mathbf{r}) \\ &= \sqrt{\hbar c_0} \int d\mathbf{r}'^3 \frac{1}{|\mathbf{r} - \mathbf{r}'|^{7/2}} \Phi_\lambda(\mathbf{r}')\end{aligned}$$

# 公式

$$\begin{aligned}\mathcal{F}^{-1}(|\mathbf{k}|^\alpha)(\mathbf{r}) &= \int dk^3 |\mathbf{k}|^\alpha e^{i\mathbf{k}\cdot\mathbf{r}} \\ &= 2\pi \int_0^\pi d\theta \int_0^\infty dk k^{2+\alpha} \sin\theta e^{ikr \cos\theta} \\ &= 2\pi \int_{-1}^1 dt \int_0^\infty dk k^{2+\alpha} e^{ikrt} \quad (t := \cos\theta) \\ &= 2\pi \int_0^\infty dk k^{2+\alpha} \left. \frac{e^{ikrt}}{ikr} \right|_{t=-1}^1 \\ &= 4\pi \int_0^\infty dk k^{2+\alpha} \frac{\sin kr}{kr} \\ &= 4\pi r^{-3-\alpha} \int_0^\infty d\kappa \kappa^{1+\alpha} \sin \kappa \quad (\kappa := kr) \\ &= 4\pi \Gamma(2+\alpha) \sin \frac{\alpha}{2} \pi |\mathbf{r}|^{-3-\alpha}\end{aligned}$$

## さらにスペクトルが狭い場合

準単色の場合

- 周波数スペクトルが  $\omega_0 = c_0 k_0$  付近に集中;  $|\mathbf{k}| \sim k_0$ .

$$\Phi_\lambda(\mathbf{r}) \sim \frac{1}{\sqrt{\hbar c_0 k_0}} F_\lambda(\mathbf{r})$$

$$|\phi\rangle = \frac{1}{\sqrt{\hbar c_0 k_0}} \int d\mathbf{r}^3 [F_+(\mathbf{r})|+\rangle + F_-(\mathbf{r})|-\rangle] |\mathbf{r}\rangle$$

# 問題

光検出器で測っているのは、波動関数  $\Phi_\lambda(\mathbf{r})$  の 2 乗か、場の振幅  $F_\lambda(\mathbf{r})$  の 2 乗か？

- ① 波動関数の 2 乗
- ② 場の振幅の 2 乗
- ③ 場合による
- ④ どちらでもない

# 光センサー

入射パワー  $P$

- 量子型 (Si フォトダイオード など)

$$I = \frac{e}{\hbar\omega} P \quad \text{波長依存}$$

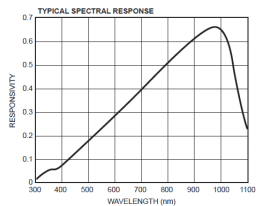
感度が周波数に逆比例 ( $\omega > E_{\text{gap}}/\hbar$  の範囲で)

- 熱型 (サーモパイルセンサー など)

$$V \propto \Delta T \propto P$$

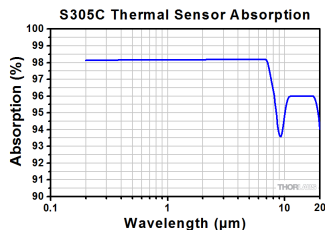
感度は周波数に無関係

# Photo Diodes



ODD-12E, [www.optdiode.com](http://www.optdiode.com)

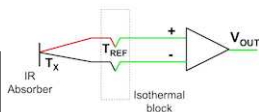
# サーマルセンサー



[www.thorlabs.co.jp](http://www.thorlabs.co.jp)

[www.sensormag.com](http://www.sensormag.com)

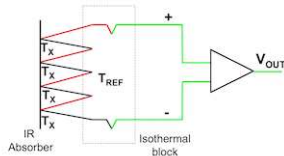
**Thermocouple**



$$V_{OUT} = S \cdot (T_X - T_{REF})$$

S: Seebeck coefficient

**Thermopile**



$$V_{OUT} = N \cdot S \cdot (T_X - T_{REF})$$

S: Seebeck coefficient  
N: Number of thermocouples

何か面白い実験はできないでしょうか？